

УДК 620.193

**СИНТЕЗ, СПЕКТРАЛЬНЫЙ АНАЛИЗ, ИССЛЕДОВАНИЕ ВНУТРИМОЛЕКУЛЯРНЫХ  
ЭЛЕКТРОННО-БУФЕРНЫХ СВОЙСТВ МЕЗОАТОМОВ АЗОТА (=N-) – ВЭБС ХЕЛАТА,  
СОДЕРЖАЩЕГО ОПРЕДЕЛЕННЫЙ ТИП ЗАМЕСТИТЕЛЕЙ В СТРОГО ФИКСИРОВАННЫХ  
ПОЛОЖЕНИЯХ МОЛЕКУЛЫ. ПОДБОР ЭФФЕКТИВНЫХ АЛКИЛИРУЮЩИХ  
И АРИЛИРУЮЩИХ СОЕДИНЕНИЙ**

© Л.С. Ширяева

Shirayeva L.S. Synthesis, spectral analysis and research on intramolecular electron-buffer properties of nitrogen meso-atoms of chela containing a certain type of substitute in a strictly fixed position of the molecule.

Металлофталоцианины – МРс – обладают целым рядом ценных технических свойств. Они наделены исключительной для органических соединений термо-, свето-, химической и термической устойчивостью, прекрасными колористическими свойствами.

Кроме того, МРс имеют близкое строение с природными макрогетероциклическими структурами – металлопорфиринаами (МП), такими как хлорофилл (XI) «а» и «б», гемин – красящее вещество крови, окислительно-восстановительные ферменты дыхания.

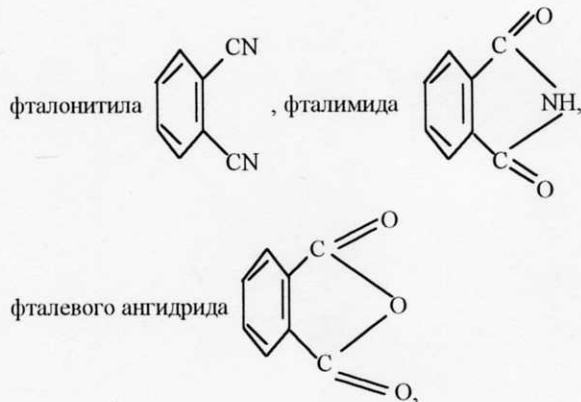
Сходство строения МП и МРс, особенно с металлами переменной степени окисления – Co (II), Cu (II), Fe (II), послужило поводом к широкому изучению и использованию последних как термо- и светостабилизаторов, аккумуляторов солнечной энергии, ингибиторов гомолитического распада белков, биокатализаторов, пассивных затворов в лазерной технике.

МП, имеющий в качестве комплексообразователя Mg (II), обуславливает биологическую активность – хлорофилла (XI); Fe (II) – гемоглобина (Hb); Fe (II) ↔ Fe (III) – окислительно-восстановительных ферментов дыхания. Другие переходные металлы, как Co (II) – витамин B<sub>12</sub>; Mn (II), имеющий близкое к Fe (II) строение, также относится к биоактивным металлам жизни.

Необычайно высокая термостойкость, светопрочность, отличные колористические свойства, инертность к кислотам и щелочам, практически полная нерастворимость в воде и среде органических растворителей большинства МП и МРс с ионами тяжелых металлов Zn, Cu, Co, Fe обусловлены их строением, наличием хромофора – гетероциклического макролыча, состоящего из четырех пиррольных колец, замкнутых в цикл через митиновые ( $=\text{CH}-$ ) мостики в МП или азомостики ( $=\text{N}-$ ) в МРс и соответствующей координации металлов, т. е. происходит образование хелатных комплексов. Однако нерастворимость в воде и органических растворителях не позволяет широко использовать технические и биологические свойства полученных соединений.

В литературе широко описаны методы синтеза МП и МРс, реже синтезы МРс, замещенные в бензольных кольцах [1]. Синтез фталоцианина и его комплексов с металлами исчерпывающе описан Линстедом.

Впервые производство фталоцианинов металлов было налажено в 1934 году, они привлекали внимание как пигменты и красители сине-зеленой гаммы. Особенностью синтеза комплексов является то, что их редко получают из лигандов, чаще всего молекула хелата получается из промежуточных продуктов:



в присутствии ионов комплексообразователей – хлоридов, оксидов или свободных металлов.

Все МРс и их замещенные в бензольных кольцах практически растворимы в 96 %-ной серной кислоте, в 85 %-ной они набухают. Фталоцианин меди (I), (CuPc), растворим только в  $\alpha$ -хлорнафталине. Известно, что серная кислота применяется для создания кислых сред в топливных элементах, и, как установлено в ряде работ, мономерный фталоцианин кобальта проявил хорошие катализитические свойства в кислородо-водородных топливных элементах (атомная промышленность, ракетостроение, реактивная авиация).

Однако нерастворимость МРс в воде и среде органических растворителей ограничивает их широкую область применения.

Для получения ряда производных МРс, в том числе и полимерных (МРс), с непрерывным сопряжением по всей длине макромолекулы *i*- и регулярной структурой, необходимы МРс с заданным числом заместителей в определенных местах молекулы (сульфо-, нитро-, метил-, гидроксо-, карбокси- и другие группы). Они

необходимы для изучения вопроса о влиянии количества и положения заместителей на физико-химические свойства фталоцианина ( $\text{PcH}_2$ ) и его комплексов с металлами.

Исследования на предмет растворимости и каталических свойств МП и МРс привели к открытию полимерных (МРс), на основе бензопентено- и бензолексо- карбоновых кислот, с непрерывным сопряжением по всей длине молекул полимера *i* и регулярной структурой молекулы. Наличие свободных карбоксильных групп способствует образованию его растворимых в воде производных – солей щелочных металлов (МРс). Из натриевых солей (МРс), реакцией замещения получены высокометаллизированные комплексы железа, кобальта и другие хелаты, в которых сочетаются ценные свойства хелатных (клешневидных) соединений со свойствами полимеров. Направленный синтез фталоцианинов, влияние замещения в молекуле лиганда и в бензольных кольцах на спектр поглощения представляет интерес не только с теоретической, но и с практической точки зрения.

Синтезом и изучением физико-химических свойств МРс, замещенных в бензольных кольцах, занимаются в лаборатории биоорганической химии №2 Тамбовского государственного университета им. Г.Р. Державина.

Глубокая односторонность процессов образования и диссоциации хелатов, невозможность подобрать растворитель, в котором бы равновесие реакции не было сдвинуто в одно из крайних положений, явилось причиной разработки спектрального и кинетического методов оценки прочности.

**1. Спектральный критерий (качественная оценка).** Растворы концентрации МРс, замещенных в бензольных кольцах, и (МРс), готовили растворением в  $1\text{--}8 \cdot 10^{-5}$  моль/л  $\text{H}_2\text{SO}_4$ . Спектры снимались на приборе СФ-4А при комнатной температуре.

В результате спектрофотометрического анализа выяснено, что в спектрах свободного лиганда в области длинных волн обнаруживается очень интенсивная полоса с двумя максимумами 840–825 нм. Вторая, также интенсивная полоса поглощения лиганда наблюдается при 345 нм, в УФ. Менее интенсивные полосы при  $\lambda$ , равной 604, 632, 576, 550 нм, являются колебательными спутниками первых двух интенсивных полос. Эти полосы поглощения и составляют основу видимого спектра поглощения хромофора лиганда и обуславливают его окраску.

Положение всех полос поглощения не зависит от концентрации  $\text{H}_2\text{SO}_4$ , как для лигандов, так и для хелатов. Это означает, что лиганд фталоцианина в водной серной кислоте и в олеуме образует только одну протонированную форму, и протон водорода может присоединиться только к одному положению макрокольца – ( $\text{PcH}_2\text{H}^+$ ).

Интересно влияние замещения на спектр поглощения лиганда. Замещение двух иминоводородных атомов на ион металла приводит к вырождению энергетических уровней, вследствие этого раздвоенный длинноволновый максимум поглощения лиганда превращается в одиничный максимум у фталоцианина. Одновременно наблюдается гипсохромный сдвиг первой длинноволновой полосы с 840 нм у лиганда до 794 нм у хелата Cu (I).

В литературе имеются лишь единичные работы, исследующие влияние замещения в бензольных кольцах на спектр его поглощения.

Спектр поглощения хлорзамещенных, полученных хлорированием фталоцианина смешается батохромно, в сторону длинных волн. Однако при введении 10 атомов хлора смещение спектра поглощения происходит гипсохромно, т. е. в сторону коротких волн. При 10 атомах хлора в молекуле фталоцианина –  $\lambda_{\max} = 710$  нм, при 12 – 690 нм, при 13 – 679 нм.

При исследовании хлорзамещенных МРс, полученных направленным синтезом, установлено:  $\lambda_{\max}$  первой длинноволновой полосы у 4, 4', 4'', 4''' – тетрахлорфталоцианина меди (II) – 830 нм, у 3,3',3'',3''',5,5',5'',5''' – октахлорфталоцианина меди (II) – 823 – 780 нм, у гексадекахлорфталоцианина меди (II) – 863–820 нм, против 794 для  $\text{PcCu}$  (I). Интенсивность ( $Ig\epsilon$ ) первой длинноволновой полосы поглощения с ростом числа атомов хлора постепенно уменьшается, а второй – у октахлорфталоцианина меди (II) – растет, причем у  $\text{CuPcCl}_{16}$  обе полосы выравниваются, т. е. получается раздвоенный длинноволновый максимум (863–820 нм). Поэтому спектр поглощения  $\text{CuPcCl}_{16}$  напоминает спектр свободного фталоцианина. Отсюда следует, что введение атомов хлора снижает симметрию молекулы МРс с  $D_{4h}$ , вероятно, до  $D_{2h}$  [2].

**2. Кинетический критерий (количественная оценка).** Математический аппарат формальной кинетики вполне строг и приводит к однозначным результатам. Результаты кинетического эксперимента можно поставить в соответствие с другими физико-химическими параметрами реагирующей системы и получить полное понимание химического и биохимического эксперимента.

Таким образом, фталоцианы металлов – (МРс) – хелаты, замещенные в бензольных кольцах, имеют макрогетероциклическую сопряженную систему, состоящую из четырех бензопиррольных колец, связанных между собой мезо-атомами азота (=N–).

В молекуле имеются две автономные хромофорные системы:

- четыре бензольных кольца и заместители – *X*;
- внутренний макрогетероциклический сопряженный лиганд, координированный с ионами металлов с образованием хелата;
- мезоатомы азота – (=N–)  $\alpha$ ,  $\beta$ ,  $\gamma$ ,  $\delta$ .

В связи с автономностью хромофоров представлялось актуальным рассмотреть электроннобуферные свойства мезоатомов азота лиганда:

1. Введение электронодонорных заместителей  $-OH$ ;  $-NH_2$ ;  $-NHAIK$ ;  $-NAr$ ;  $-OAIK$ ;  $-OAr$ ;  $-Cl$ ;  $-Br$ ;  $-F$ ;  $-Y$  – заместитель *X* – в атомные хромофорные системы бензольных колец приводит к вытеснению несвязанных  $\pi$ -электронных пар с  $\sigma$ -уровня макрокольца на  $\sigma$ -уровень мезоатома азота хелата, в результате чего суммарная  $\pi$ -электронная плотность в макрокольце изменяется мало по сравнению с незамещенным хелатом фталоцианина.

2. Введение электроноакцепторных заместителей  $-NO_2$ ;  $CN$ ;  $O$  ;  $O$  ;  $-SO_3H$  – заместитель *X*,

наоборот, способствует переходу р-электронных пар с  $\sigma$ -уровня мезоатомов азота хелата на  $\pi$ -уровень макрольца, т. е. хромофорная система хелата фталоцианина действует как индикатор; сохраняется исходное состояние и влияние заместителей особо не нарушает систему при введении небольшого количества заместителей.

Это условие справедливо как для электронодонорных, так и электроноакцепторных заместителей; следует заметить, что в практике как раз и используются именно эти заместители. Как мы убедились, обособленные автономные хромофорные системы изменяются незначительно под влиянием заместителей. Поэтому фталоцианины металлов, в промышленности – фталоцианин меди –  $\text{PcCu}$  (I), имеет яркий, насыщенный синий цвет, а его высокочлорированный продукт  $\text{Cl}_{15}\text{PcCu}$  – зеленый. Цветовая гамма в основном ограничена такими оттенками цвета.

### ВЛИЯНИЕ МЕТАЛЛА ПРИ КООРДИНАЦИИ

В процессе координации металла с лигандом происходят существенные изменения свойств обоих компонентов: изменяются магнитные, оптические, электронные свойства, а также химическая реакционная способность и устойчивость к физико-химическим воздействиям.

I.  $\sigma$ -эффект координации (индукционное влияние) при комплексообразовании состоит в том, что происходит образование 4 ковалентных  $\sigma$ -связей. У катиона  $M^{n+}$  в это время происходит заполнение вакантных орбиталий S, Px, Py за счет  $\sigma$ -электронов координирующих атомов азота ( $N \xrightarrow{\sigma\text{-связь}} M^{n+}$ ),  $\pi \rightarrow P$ . Такое заполнение приводит к выключению из сопряженной системы хромофора 4 неподеленных электронных пар координирующих пар атомов азота, например,  $\text{Zn}^{+2}$ ,  $\text{Al}^{+3}$ ,  $\text{Ga}^{+3}$ ,  $\text{Sn}^{2+}$ . Как правило,  $\sigma$ -эффект координации приводит к уменьшению  $\pi$ -электронных зарядов связи C–N макрольца, увеличению их длины, дополнительному участию в сопряжении внешних электронов не координирующих с металлами атомов азота. Увеличивается положительный заряд на атомы макрольца. Этот переход характеризуется смещением основной длинноволновой полосы поглощения в *коротковолновую область* спектра – происходит гипсохромный сдвиг.

II. Дативные  $\pi$ -связи (мезомерный эффект) наблюдаются в том случае, если у центрального иона металла ( $M^{n+}$ ) имеется заполненность d-орбиталей  $\pi$ -симметрии и они сами участвуют в образовании  $\pi$ -связи. Образование дативных  $\pi$ -связей от  $M \xrightarrow{\pi\text{-связь}} N$ , приводит к противоположному влиянию на MPc. Увеличивается  $\pi$  электронный разряд C–N связи макрольца, уменьшается диаметр молекулы, уменьшается эффективный разряд на его атомах, растет растворимость в серной кислоте, наблюдается батохромный сдвиг основной длинноволновой полосы поглощения (в длинноволновую область спектра). Прочность металлических комплексов возрастает.

III. Особенно сильное влияние на свойства лиганда, перекрывающее влияние других эффектов, вызывает

изменение его геометрической структуры при координации. Искажение плоскостной координации циклического  $\pi$ -лиганда, связанное с выключением из сопряжения электронных пар координирующихся гетероатомов, и рост энергии  $\pi-\pi^*$  электронных переходов может привести к резкому уменьшению сопряжения в системе. Это приводит к еще большему гипсохромному сдвигу основной полосы поглощения и снижению ее интенсивности (геометрический фактор). Действие геометрического фактора перекрывает влияние  $\sigma$  и  $\pi$  электронных эффектов при координации (смотри полимерные металлофталоцианины с регулярной структурой) [3].

На основании эффектов координации и по отношению к растворимости в серной кислоте первую группу составляют лабильные металлофталоцианины, содержащие ионы  $\text{Na}^+$ ,  $\text{K}^+$ ,  $\text{Ca}^{2+}$ ,  $\text{Be}^{2+}$ ,  $\text{Mg}^{2+}$ ,  $\text{Sr}^{2+}$ ,  $\text{Ba}^{2+}$ ,  $\text{Ag}^+$ ,  $\text{Cd}^{2+}$ ,  $\text{Hg}^{2+}$ ,  $\text{Mn}^{2+}$ ,  $\text{Zn}^{3+}$ ,  $\text{As}^{3+}$ . Они легко теряют центральный ион металла при обработке соляной, фосфорной или концентрированной серной кислотами с переходом в протонированный фталоцианин –  $\text{H}_2\text{PcH}^+$ .

Во второй группе, стабильной, – лиганды с  $\text{Zn}^{2+}$ ,  $\text{Al}^{3+}$ ,  $\text{Ja}^{3+}$ ,  $\text{Je}^{4+}$ ,  $\text{V}^{4+}$ ,  $\text{Co}^{2+}$ ,  $\text{Ni}^{2+}$ ,  $\text{Pd}^{2+}$ ,  $\text{Cu}^{2+}$ ,  $\text{Pt}^{2+}$ ,  $\text{Pu}^{2+}$  практически не испытывают в серной кислоте никакого расщепления.

В третью, промежуточную, группу, менее устойчивую, входят лиганды фталоцианина с  $\text{Fe}^{3+}$ ,  $\text{Sn}^{4+}$ . В этих соединениях две валентные связи металла устойчивы при координации с фталоцианином, а остальные остаются ионными; происходит присоединение гидрокса ( $\text{OH}^-$ ) или ион хлора  $\text{Cl}^-$  в процессе реакций.

Прочность металлических комплексов возрастает в ряду:  $\text{Co}^{2+} > \text{Ni}^{2+} > \text{Cu}^{2+} > \text{Pt}^{2+} > \text{Os}^{2+} > \text{Pb}^{2+} > \text{Pu}^{2+}$ ). Скорость разложения этих хелатов в сернокислотных растворах мала, даже при температуре 100° С.

К полимерным фталоцианинам относятся все ленточные, сетчатые или трехмерные высокомолекулярные соединения, содержащие тетраазопорфиновые структуры, объединенные бензольными кольцами или



через группы  $-\text{O}-$ ,  $-\text{S}-$ ,  $-\text{C}-$ ,  $-\text{SO}_2-$  и чередующиеся в определенной последовательности.

По типу сопряжения отдельных звеньев друг с другом синтезированные полимерные фталоцианины делят на две группы.

Первую группу составляют полимеры с непрерывным сопряжением по всей длине макромолекулы – (MPc). Они получаются из пиromеллитовой кислоты и всех ее производных с фталеевым ангидридом в условиях образования мономерного фталоцианина. Изменяется только продолжительность процесса и температура. Метод позволяет получать полимерные фталоцианины металлов ленточной структуры.

Вторую группу составляют полимерные фталоцианины металлов -(MPc)- на основе 3,3',4,4'-тетракарбокси-, амино-, 3,3',4,4'-тетракарбоксидифенилового эфира, дифталилкетона и им подобных соединений в тех же условиях.

В связи с тем, что элементарные звенья в этой группе -(MPc)- соединены между собой с помощью изолятов сопряжения ( $-\text{O}-$ ,  $-\text{S}-$ ) или слабых проводников электронов – групп  $-\text{CO}-$  и  $-\text{SO}_2-$ , они не имеют замкнутой цепочки сопряжения. Обе группы полиме-

ров в разной степени сохраняют и проявляют индивидуальные признаки металлофталоцианинов.

$(MPc)_i$  – темного, почти черного цвета с металлическим блеском, не растворяются в распространенных органических растворителях (спирте, бензоле, ацетоне, пиридине). Полимеры первой группы умеренно растворяются в диметилформамиде с выпадением в осадок при действии трехкратного объема хлороформа (следует отметить, что мономер в диметилформамиде не растворяется). Они термостойкие, плавятся в широких пределах от 350° С до 400° С и выше, с разложением возгоняются в вакууме, порядка 3<sup>-5</sup>–10<sup>-5</sup> мм рт. ст. при 190–350° С. Способны переосаждаться из растворов в серной кислоте при выливании на лед.

Полимеры второй группы более устойчивы к действию серной кислоты, с трудом сгорают.

Полимерную и фталоцианиновую природу  $(MPc)_-$  подтверждают спектрофотометрические исследования в УФ-видимой и ИК-областях спектра. Установлено, что  $(MPc)_-$  поглощают в УФ и видимой областях спектра как  $(MPc)_-$ , но с меньшей интенсивностью полос. Многие полосы поглощения оказываются размытыми и максимумы  $-\lambda_{max}$ - растянуты в длину.

**3. Подбор эффективных алкилирующих и арилирующих агентов.** Подбор эффективных алкилирующих и арилирующих агентов – до настоящего времени очень актуальная задача. В этой связи представляет исключительный интерес работа совместно с М.В. Гришиным и О.М. Ширяевым «Спектрофотометрическая методика определения псевдомономолекулярных

$K'$  и бимолекулярных  $K''$  констант скорости щелочного гидролиза полифениловых эфиров арендисульфокислот». Реакции протекают исключительно быстро и спектрофотометрическая аппаратура с полуавтоматическим действием непригодна для таких исследований.

Исследования проводились с использованием фотоэлектронного умножителя (ФЭУ) с приставкой самописцем (-LP) на спектрофотометре СФ-4А.

**Спектрофотометрическая методика определения псевдомономолекулярных  $K'$  и бимолекулярных  $K''$  констант скорости щелочного гидролиза дифениловых эфиров арендисульфокислот.** Циклоалкиловые эфиры проявили хорошие алкилирующие свойства в синтезе промежуточных продуктов – таких лекарственных соединений, как пирамидон и анальгин [4], они применяются также в синтезе других лекарственных и душистых веществ, пигментов и красителей. Исследование механизмов гидролиза дифениловых эфиров 1,3- и 1,4-бензодисульфокислот затруднено в связи с их плохой растворимостью в воде.

Водный гидролиз синтезированных эфиров в отличие от циклоалкиловых эфиров этих кислот показал отсутствие лабильных связей. При длительном кипячении с водой они не гидролизуются. Поэтому приведена методика изучения кинетики щелочного гидролиза эфиров в псевдомономолекулярных условиях.

Определение псевдомономолекулярных констант  $K'$  осуществлялось по интенсивности поглощения соединениями  $U\tau/\tau_0 - T$  для каждой рабочей длины волны

Таблица 1

Определение  $\Delta D$  в реакции щелочного гидролиза на примере дефенилового эфира 1,4-дисульфокислоты бензола ( $C_{NaOH} = 0,045$ ;  $t = 50^{\circ}C$ )

$J_t$	$T = \frac{J_t}{J_0}$	$D_t = \frac{1}{\tau}$	$D_2 = \lg \frac{1}{\tau}$	$D_0 - D_2$	$\lg \frac{D_x - D_0}{D_x - D_t}$	$\frac{D_x - D_0}{D_x - D_t}$	$\tau_1$	$X_1 = \frac{D\tau_1 - D_0}{D\tau_1 - D_0}$	$\tau_1$	$D\tau_1$
199,5	0,729	1,371	0,1370	0,102	0,259	0,1000	60	0,021	60	0,158
190	0,695	1,439	0,1580	0,081	1,672	0,2232	120	0,041	120	0,178
181,5	0,664	1,506	0,1778	0,061	2,267	0,3555	180	0,057	180	0,194
175	0,640	1,563	0,1940	0,045	2,914	0,4645	240	0,067	240	0,204
171	0,625	1,60	0,0241	0,035	3,778	0,5772	300	0,075	300	0,212
168	0,614	1,629	0,2119	0,027	4,857	0,6863	360	0,081	360	0,218
165,5	0,605	1,653	0,2183	0,021	6,000	0,7782				
164	0,600	1,667	0,2220	0,017	7,286	0,8625				
163	0,596	1,678	0,2248	0,014	9,273	0,9672				
162	0,592	1,689	0,2276	0,011	11,333	1,0542				
161,2	0,589	1,689	0,2299	0,009	17,000	1,2304				
160	0,585	1,709	0,2327	0,006	20,4	1,3096				
159,8	0,580	1,724	0,2440	0,005						

$x_1^2$	$2x_1$	$\tau_2$	$D\tau_2$	$X_2 = \frac{x_2}{D\tau_2 - D_0}$	$2x_1 - x_2$	$\Delta D = x_2^2 / 2x_1 - x_2$
0,000441	0,042	120	0,178	0,041	0,001	
0,001681	0,082	240	0,204	0,067	0,015	0,112066
0,003249	0,114	360	0,218	0,081	0,033	0,098454
0,004489	0,134	480	0,225	0,088	0,046	0,097587
0,005625	0,150	600	0,230	0,093	0,057	0,098684
0,006561	0,162	720	0,324	0,097	0,065	0,100938

Примечание.  $\Delta D = 0,102$ .  $J_0$  и  $J_T$ , соответственно, величина падающего и выходящего светового потока (в мм)

Таблица 2

Нахождение псевдомолекулярных констант скорости  $K'$  0,4 мл спиртового раствора эфира на 5 мл NaOH  
 $t = 50$ ,  $y_0 = 274,5$ , N NaOH = 0,045,  $\lambda_{\max} = 234$  нм

$t$ , мин	$\frac{2,303}{t, \text{с}}$	$D_\tau$	$D_\infty - D_\tau$	$\lg \frac{D_\infty - D_0}{D_\infty - D_\tau}$	$K_1 = \frac{2 \cdot 3}{t} \lg \frac{D_\infty - D_0}{D_\infty - D_\tau}$	$K' = \frac{2,303}{t} \lg \frac{D_\infty - D_0}{D_\infty - D_\tau}$
0	0	0,0599	0,057			
60	0,64	0,0674	0,050	0,0569	0,0365	$0,364 \cdot 10^{-4}$
120	0,32	0,0715	0,045	0,1028	0,033	$0,329 \cdot 10^{-4}$
180	0,213	0,0755	0,041	0,1430	0,0305	$0,305 \cdot 10^{-4}$
240	0,16	0,0803	0,037	0,1878	0,03005	$0,300 \cdot 10^{-4}$
300	0,13	0,0840	0,033	0,2373	0,03085	$0,304 \cdot 10^{-4}$
360	0,1055	0,0878	0,029	0,2936	0,03098	$0,313 \cdot 10^{-4}$
420	0,0913	0,0906	0,026	0,3406	0,03201	$0,311 \cdot 10^{-4}$
480	0,08	0,0941	0,023	0,3941	0,03153	$0,315 \cdot 10^{-4}$
540	0,071	0,0962	0,021	0,7336	0,0308	$0,308 \cdot 10^{-4}$
600	0,0631	0,099	0,018	0,5007	0,0316	$0,320 \cdot 10^{-4}$
660	0,0591	0,1	0,017	0,5254	0,3106	$0,306 \cdot 10^{-4}$
720	0,0533	0,1014	0,016	0,5517	0,02941	$0,294 \cdot 10^{-4}$
780	0,0492	0,1028	0,014	0,6097	0,028	$0,310 \cdot 10^{-4}$
840	0,0457	0,1052	0,012	0,6767	0,03093	$0,309 \cdot 10^{-4}$
		0,117				$K_{\text{ср.}} = 0,312 \cdot 10^{-4}$

Примечание.  $\Delta D_\tau = 0,0878$

Таблица 3

Псевдомономолекулярные константы ( $\text{с}^{-1}$ ), бимолекулярные константы скорости ( $\text{лмоль}^{-1}\text{с}^{-1}$ ) и активационные параметры ( $E$ , кДж·моль $^{-1}$ ,  $\Delta S^\#$  э. е.) щелочного гидролиза фениловых эфиров 1,3- и 1,4 дисульфокислот бензола

Константы скорости $K'$ и $K''$	Концентрация щелочи, Н					Относительная ошибка $\pm \frac{0,95 \cdot 100\%}{K}$	$E$ , кДж·моль $^{-1}$	$\Delta S^\#$ э. е
	0,01128	0,01805	0,04512	0,1128	0,2			
$K'50$	$3,621 \cdot 10^{-4}$	$5,830 \cdot 10^{-4}$	$1,521 \cdot 10^{-3}$	$3,959 \cdot 10^{-3}$				
$K''50$	$3,21 \cdot 10^{-2}$	$3,230 \cdot 10^{-2}$	$3,370 \cdot 10^{-2}$	$3,510 \cdot 10^{-2}$		6,6		
$K'60$	$6,79 \cdot 10^{-4}$	$1,110 \cdot 10^{-3}$	$2,829 \cdot 10^{-3}$	$7,174 \cdot 10^{-3}$				
$K''60$	$6,20 \cdot 10^{-2}$	$6,150 \cdot 10^{-2}$	$6,270 \cdot 10^{-2}$	$6,360 \cdot 10^{-2}$		4,1	55,8	-26,3
$K'70$	$1,281 \cdot 10^{-3}$	$2,017 \cdot 10^{-3}$	$5,020 \cdot 10^{-3}$	$1,252 \cdot 10^{-2}$	$2,206 \cdot 10^{-2}$			
$K''70$	$11,36 \cdot 10^{-2}$	$11,17 \cdot 10^{-2}$	$11,13 \cdot 10^{-2}$	$11,10 \cdot 10^{-2}$	$11,03 \cdot 10^{-2}$	1,4		
1,4 дифенилсульфонат бензола								
$K'50$	$1,046 \cdot 10^{-3}$		$4,047 \cdot 10^{-3}$	$10,05 \cdot 10^{-3}$	$1,706 \cdot 10^{-2}$			
$K''50$	$9,27 \cdot 10^{-2}$		$8,970 \cdot 10^{-2}$	$8,910 \cdot 10^{-2}$	$8,530 \cdot 10^{-2}$	5,7		
$K'60$	$2,056 \cdot 10^{-3}$	$3,352 \cdot 10^{-3}$	$8,451 \cdot 10^{-3}$	$2,157 \cdot 10^{-2}$				
$K''60$	$18,23 \cdot 10^{-2}$	$18,57 \cdot 10^{-2}$	$18,73 \cdot 10^{-2}$	$19,12 \cdot 10^{-2}$		3,3	66,1	-16,7
$K'70$	$4,200 \cdot 10^{-3}$	$6,750 \cdot 10^{-3}$	$1,720 \cdot 10^{-2}$	$4,290 \cdot 10^{-2}$	$7,33 \cdot 10^{-2}$			
$K''70$	$37,23 \cdot 10^{-2}$	$37,40 \cdot 10^{-2}$	$38,12 \cdot 10^{-2}$	$38,03 \cdot 10^{-2}$	$36,65 \cdot 10^{-2}$	2,0		

Примечание.  $E$  – энергия активации, находится из уравнения Аррениуса.  $\Delta S^\#$  – по уравнению, полученному преобразованием выражения для константы скорости в растворах, согласно теории переходного состояния

$\lambda_{\max}$ , нм. Контроль за ходом исследуемой реакции проводили спектрофотометрическим методом на приборе СФ-4А, снабженном ФЭУ и самописцем LP при температурах 50–60 и 70° С. Интервал концентрации раствора щелочи выбирался исходя из требования соблюдения пропорциональной зависимости псевдомономолекулярной константы  $K'$  ( $\text{с}^{-1}$ ) от концентрации щелочи [5].

Растворы едкого натра приготавлялись путем разбавления его концентрированного раствора, свободного от карбонатов. Начальная концентрация эфира при измерениях составляла  $4-8 \cdot 10^{-5}$  моль/л. На спектрофотометре СФ-4А снимались спектры поглощения щелочных растворов эфиров до и после гидролиза в диапазоне 220–360 нм. Для каждого эфира устанавливалась

Таблица 4

Определение средней квадратичной ошибки эксперимента на примере диметилового эфира -1, 3-бензодисульфокислоты

№ измерения	Значение констант $K' \cdot 10^{-4}$ , $\text{с}^{-1}$	$P - P_{\text{ср.}}$ одного измерения	$(P - P_{\text{ср.}})^2$	Среднее квадратичное отклонение $S = \sqrt{\frac{\varepsilon(p - \bar{p}_{\text{ср}})^2}{n-1}}$	$S^2$ -дисперсия	Среднее квадратичное отклонение $S = \sqrt{\frac{\varepsilon(p - \bar{p}_{\text{ср}})^2}{n(n-1)}}$	$\varepsilon_{0,95} = t \cdot S_p$	Относительная ошибка $\pm \varepsilon \cdot \frac{100}{a}$
1	0,364		$0,044 \cdot 10^{-4}$	$1,936 \cdot 10^{-14}$	$\sqrt{\frac{2,826 \cdot 10^{-11}}{4}} =$	$\sqrt{\frac{2,826 \cdot 10^{-11}}{5(5-1)}} =$	$2,78 \cdot 1,19 \cdot 10^{-6} =$	$1,19 \cdot 10^{-6} \cdot 100 =$
2	0,329		$0,003 \cdot 10^{-4}$	$9 \cdot 10^{-14}$	$= \sqrt{0,7065 \cdot 10^{-11}} =$	$= \sqrt{0,1413 \cdot 10^{-11}} =$	$= 3,31 \cdot 10^{-6}$	$0,34 \cdot 10^{-4} =$
3	0,305		$0,32 \cdot 10^{-4}$	$-0,015 \cdot 10^{-4}$	$2,25 \cdot 10^{-12}$	$= \sqrt{7,065 \cdot 10^{-12}} =$	$= \sqrt{1,413 \cdot 10^{-12}} =$	$= 3,5\%$
4	0,300			$-0,02 \cdot 10^{-4}$	$4 \cdot 10^{-12}$	$= 2,66 \cdot 10^{-6}$	$= 1,19 \cdot 10^{-6}$	
5	0,304			$-0,016 \cdot 10^{-4}$	$2,56 \cdot 10^{-12}$			
$n$	$a = 0,95$			$\Sigma = 0,004 \cdot 10^{-4}$	$\Sigma = 2,826 \cdot 10^{-11}$			
3	4,30							
4	3,18							
5	2,78							

рабочая длина волны  $\lambda_{\text{max}}$  нм, при которой значение оптической плотности  $D$  ( $\Delta D = D_{\infty} - D_0$ ) было максимальным.

#### ПРОПИСЬ ОПЫТА

К термостатированному раствору щелочи в би-дистилия прибавляли из микропипетки 0,4 мл раствора исследуемого эфира в этаноле (концентрация этанола не превышала 8 % по массе). Полученную смесь вводили в термостатированную кювету и записывали измерения интенсивности пропускания  $T$  раствора при рабочей длине волны. По данным  $T$  щелочного раствора эфира находили  $D_0$ ,  $D_{\text{ср.}}$ ,  $D_{\infty}$  (таблица 2) и определяли псевдомономолекулярные константы скорости щелочного гидролиза ( $K'$ ,  $\text{с}^{-1}$ , табл. 2) по формуле:

$$K' = \frac{2,303}{\tau} \lg \frac{D_{\infty} - D_0}{D_{\infty} - D_i},$$

где  $D_0$ ,  $D_{\text{ср.}}$ ,  $D_{\infty}$  – соответственно оптические плотности растворов в момент начала реакции, в момент времени  $\tau$  от начала реакции и после завершения реакции. Путем деления псевдомономолекулярных констант скорости  $K'$  ( $\text{с}^{-1}$ ) на концентрации щелочи были получены бимолекулярные константы скорости  $K''$  ( $\text{л}\cdot\text{моль}^{-1}\cdot\text{с}^{-1}$ ) щелочного гидролиза (таблица 3).

Измерения при каждой температуре повторялись 3–4 раза, вычислялись средние арифметические полученных величин бимолекулярных констант скорости в растворах одной концентрации щелочи при довери-

тельной вероятности 0,95, ошибка опыта составляла 1,5–2 % в сериях от 3 до 6,6 % (таблица 4).

#### ВЫВОДЫ

- Приведена методика исследования щелочного гидролиза дифениловых эфиров – дисульфокислотензола-1,3 и 1,4 в всевидомономолекулярных условиях спектрофотометрическим методом на приборе СФ-4А, снабженном ФЭУ и самописцем LP при 50–70 °C и концентрации щелочи от 0,01 до 0,2 н раствора.
- Рассчитаны активационные параметры этого процесса.

#### ЛИТЕРАТУРА

- Березин Б.Д. Координационные соединения порфиринов и фталоцианинов. М.: Наука, 1978. С. 25.
- Ширяева Л.С., Клюев В.Н. Способ получения 3,3',3'',3''',5,5',5'',5'''-октахлорфталоцианинов металлов. А. с. № 311938. 1971. Б. И. № 25.
- Ширяева Л.С., Ширяев М.М. Способ получения полимерных металлофталоцианинов (II). А. с. № 907019. 1982. Б. И. № 7.
- Ширяева Л.С. Спектрофотометрическое определение металлического комплекса полимерного фталоцианина меди в смеси с мономерной фракцией. Рукоп. депонир. в ВИНТИ. № 760. 1990.
- Ширяева Л.С. Кинетика и катализ в биохимии. Ферменты, катализаторы биологических процессов. М.: Наука, 1988. (В печати.)

**БЛАГОДАРНОСТИ:** Выражаю глубокую благодарность за исключительную помощь в работе заведующему кафедрой аналитической химии и экологии доктору химических наук, заслуженному деятелю науки и техники РФ, профессору В.И. Вигдоровичу и сотрудникам кафедры за оснащение аппаратурой и химическими реагентами.

Поступила в редакцию 11 октября 2000 г.